

# 1 Descripción

1.1 Método A: Ecuaciones Adimensionales1.2 Método B: Ecuaciones Dimensionales

### 2 Entregables

- 2.1 Funciones de Transferencia Factorizadas
- 2.2 Diagrama de Bode
- 2.3 Diagrama de Nichols
- 2.4 Respuesta Temporal: Salto Escalón Unitario
- 2.5 Respuesta Temporal: Rampa Unitaria
- 2.6 Código Fuente.

#### 3 Datos



# Trabajo 1: Funciones de Transferencia Open Loop Aviones

MUIA (2021/22) FCS

### 1 Descripción

Obtener las funciones de transferencia <u>dimensionales</u> en lazo abierto a partir de las características geométricas y másicas del avión y de sus derivadas de estabilidad (en ejes estabilidad) para una condición de referencia de vuelo simétrico, rectilíneo, estacionario, horizontal y con alas a nivel.

#### T3: Aplicación a un Avión Turbojet bimotor (Learjet 24) volando en régimen de crucero a MTOW

Flight Condition	Geometric Data	Weight and Balance
$h_s = 40000  ft  ; M_s = 0.70$	$S_w = 230  ft^2  ; c = 7.0  ft  ; \ b = 34.0  ft$	m = 13000 lb;
$u_s = 677 \frac{ft}{s}$ ; $q_s = 134.6 \frac{lb}{ft^2}$ ;		$I_{XX_B} = 28000 \ slgft^2; \ I_{YY_B} = 18800 \ slgft^2;$
		$I_{ZZ_B} = 47000 \ slgft^2; I_{XZ_B} = 1300 \ slgft^2;$
$\alpha_{x_B-x_S}=2.7^{\circ}$		
Reference Condition $C_{L_s} = 0.410 \; ; \; C_{D_s} = 0.0335 \; ;$ $C_{Tx_s} = 0.0335 \; ;$ $C_{m_s} = 0 \; ; \; C_{mT_s} = 0 \; ;$	Dimensionless Long. Stability Derivatives:	<b>Dimensionless</b> Lat-Dir Stability Derivatives:
	$C_{D_0} = 0.0216 \; ; \; C_{D_{\widehat{u}}} = 0.104 \; ; \; C_{D_{\alpha}} = 0.300 \; ;$	
	$C_{Tx_{\widehat{u}}} = -0.07;$	$C_{l_{\beta}} = -0.110$ ; $C_{l_{\hat{p}}} = -0.450$ ; $C_{l_{\hat{r}}} = 0.160$ ;
	$C_{L_0} = 0.130 \; ; \; C_{L_{\widehat{u}}} = 0.400 \; ; \; C_{L_{\alpha}} = 5.840 \; ;$	$C_{Y_{\hat{p}}} = -0.730$ ; $C_{Y_{\hat{p}}} = 0$ ; $C_{Y_{\hat{p}}} = 0.400$ ;
	$C_{L_{\hat{\alpha}}} = 2.20 \; ; \; C_{L_{\hat{q}}} = 4.70 \; ;$	$C_{n_B} = 0.127$ ; $C_{n_{\bar{n}}} = -0.008$ ; $C_{n_{\bar{p}}} = -0.200$ ;
	$C_{m_0} = 0.050; \ C_{m_{\tilde{u}}} = 0.050; \ C_{m_{\alpha}} = -0.640;$	$C_{nTe}=0;$
	$C_{m_{\widehat{q}}} = -6.70 \; ; \; C_{m_{\widehat{q}}} = -15.5 \; ;$	$C_{l_{\delta_{\alpha}}} = 0.178 \; ; \; C_{l_{\delta_{r}}} = -0.0190 \; ;$
	$C_{mT_{\bar{u}}} = -0.003; \ C_{mT_{\alpha}} = 0;$	$C_{Y_{\delta_{\alpha}}} = 0$ ; $C_{Y_{\delta_{r}}} = -0.140$ ;
	$C_{D_{\delta_e}} = 0$ ; $C_{L_{\delta_e}} = 0.460$ ; $C_{m_{\delta_e}} = -1.24$ ;	$C_{n_{\delta_n}} = -0.02 \; ; \; C_{n_{\delta_n}} = 0.0740 \; ;$
	$C_{D_{i_h}} = 0$ ; $C_{L_{i_h}} = 0.940$ ; $C_{i_{\delta_h}} = -2.50$ ;	$-u_{\delta a}$ $-u_{\delta r}$ $u_{\delta r}$



# 1 Descripción

#### 1.1 Método A: Ecuaciones Adimensionales

→ Se parte de las ecuaciones adimensionales para el estudio del movimiento longitudinal o lateraldireccional.

# Ecuaciones longitudinales

$$\begin{split} &(2\mu\mathbf{D}-C_{X\hat{u}})\Delta\hat{u}-C_{X\alpha}\Delta\alpha-C_{Zs}\Delta\theta=C_{X\delta_e}\Delta\delta_e\\ &-(C_{Z\hat{u}}+2C_{Zs})\Delta\hat{u}+((2\mu-C_{Z\hat{\alpha}})\mathbf{D}-C_{Z\alpha})\Delta\alpha-(2\mu+C_{Z\hat{q}})\mathbf{D}\Delta\theta=C_{Z\delta_e}\Delta\delta_e\\ &-C_{m\hat{u}}\Delta\hat{u}-(C_{m\hat{\alpha}}\mathbf{D}+C_{m\alpha})\Delta\alpha+(\hat{I}_y\mathbf{D}^2-C_{m\hat{q}}\mathbf{D})\Delta\theta=(C_{m\hat{\delta}_e}\mathbf{D}+C_{m\delta_e})\Delta\delta_e\\ &-\mathbf{D}\Delta\theta=\Delta\hat{q} \end{split}$$

# Ecuaciones lateral-direccionales

$$\begin{split} &(2\mu\mathsf{D}-C_{\gamma\beta})\Delta\beta-C_{\gamma\hat{p}}\Delta\hat{p}+(2\mu-C_{\gamma\hat{r}})\Delta\hat{r}+C_{zs}\Delta\phi=C_{\gamma\delta_{r}}\Delta\delta_{r}\\ &-C_{l\beta}\Delta\beta+(\hat{I}_{x}\mathsf{D}-C_{l\hat{p}})\Delta\hat{p}-(\hat{J}_{xz}\mathsf{D}+C_{l\hat{r}})\Delta\hat{r}=(C_{l\hat{\delta}_{a}}\mathsf{D}+C_{l\delta_{a}})\Delta\delta_{a}+C_{l\delta_{r}}\Delta\delta_{r}\\ &-C_{n\beta}\Delta\beta-(\hat{J}_{xz}\mathsf{D}+C_{n\hat{p}})\Delta\hat{p}+(\hat{I}_{z}\mathsf{D}-C_{n\hat{r}})\Delta\hat{r}=C_{n\delta_{a}}\Delta\delta_{a}+(C_{n\hat{\delta}_{r}}\mathsf{D}+C_{n\delta_{r}})\Delta\delta_{r}\\ &\mathsf{D}\Delta\phi=\Delta\hat{p}\\ &\mathsf{D}\Delta\psi=\Delta\hat{r} \end{split}$$



# Trabajo 1: Funciones de Transferencia Open Loop Aviones

MUIA (2021/22) FCS

### 1 Descripción

#### 1.1 Método A: Ecuaciones Adimensionales

→ Se calculan los parámetros geométricos y másicos adimensionales.

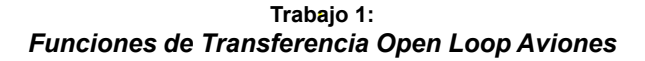
$$\mu = \frac{m}{\rho S \frac{c}{2}}; \hat{I}yy = \frac{Iyy}{\rho S \left(\frac{c}{2}\right)^3}$$

$$\mu = \frac{m}{\rho S \frac{b}{2}}; \hat{I}xx = \frac{Ixx}{\rho S \left(\frac{b}{2}\right)^3}; \hat{I}zz = \frac{Izz}{\rho S \left(\frac{b}{2}\right)^3}; \hat{P}xz = \frac{Pxz}{\rho S \left(\frac{b}{2}\right)^3}$$

→ Se obtienen las ecuaciones dimensionales en el dominio del tiempo

$$D = \frac{d}{dt} \frac{c}{2u_s}; \Delta \hat{u} = \frac{\Delta u}{u_s}; \Delta \hat{q} = \Delta q \frac{c}{2u_s}$$
$$D = \frac{d}{dt} \frac{b}{2u_s}; \Delta \hat{p} = \Delta p \frac{b}{2u_s}; \Delta \hat{r} = \Delta r \frac{b}{2u_s}$$

- → Se realiza la transformada de Laplace para transformar el sistema de ecuaciones diferenciales ordinarias en un sistema de ecuaciones algebraicas.
- > Se resuelve mediante Cramer





### 1 Descripción

#### 1.2 Método B: Ecuaciones Dimensionales

→ Se parte de las ecuaciones dimensionales para el estudio del movimiento longitudinal o lateraldireccional.

# Ecuaciones longitudinales

$$\theta_{\rm s} = 0$$

$$\begin{split} &\left(X_{u}-m\frac{\mathrm{d}}{\mathrm{d}t}\right)\!\Delta u+X_{w}\Delta w-mg\cos\theta_{s}\Delta\theta=-X_{\delta_{e}}\Delta\delta_{e}\\ &Z_{u}\Delta u+\left(Z_{w}+(Z_{\dot{w}}-m)\frac{\mathrm{d}}{\mathrm{d}t}\right)\!\Delta w+\left((Z_{q}+mu_{s})\frac{\mathrm{d}}{\mathrm{d}t}-mg\sin\theta_{s}\right)\!\Delta\theta=-Z_{\delta_{e}}\Delta\delta_{e}\\ &M_{u}\Delta u+\left(M_{w}+M_{\dot{w}}\frac{\mathrm{d}}{\mathrm{d}t}\right)\!\Delta w+\left(M_{q}\frac{\mathrm{d}}{\mathrm{d}t}-I_{y}\frac{\mathrm{d}^{2}}{\mathrm{d}t^{2}}\right)\!\Delta\theta=-\left(M_{\delta_{e}}+M_{\dot{\delta_{e}}}\frac{\mathrm{d}}{\mathrm{d}t}\right)\!\Delta\delta_{e}\\ &\frac{\mathrm{d}\Delta\theta}{\mathrm{d}t}=\Delta q \end{split}$$

# Ecuaciones lateral-direccionales

$$\theta_s = 0$$

$$\begin{split} &\left(Y_{v}-m\frac{\mathrm{d}}{\mathrm{d}t}\right)\!\Delta v+Y_{p}\Delta p+\left(Y_{r}-mu_{s}\right)\!\Delta r+mg\cos\theta_{s}\Delta\phi=-Y_{\delta_{r}}\Delta\delta_{r}\\ &L_{v}\Delta v+\left(L_{p}-I_{x}\frac{\mathrm{d}}{\mathrm{d}t}\right)\!\Delta p+\left(L_{r}+J_{xz}\frac{\mathrm{d}}{\mathrm{d}t}\right)\!\Delta r=-\left(L_{\delta_{a}}+L_{\dot{\delta}_{a}}\frac{\mathrm{d}}{\mathrm{d}t}\right)\!\Delta\delta_{a}-L_{\delta_{r}}\Delta\delta_{r}\\ &N_{v}\Delta v+\left(N_{p}+J_{xz}\frac{\mathrm{d}}{\mathrm{d}t}\right)\!\Delta p+\left(N_{r}-I_{z}\frac{\mathrm{d}}{\mathrm{d}t}\right)\!\Delta r=-N_{\delta_{a}}\Delta\delta_{a}-\left(N_{\delta_{r}}+N_{\dot{\delta}_{r}}\frac{\mathrm{d}}{\mathrm{d}t}\right)\!\Delta\delta_{r}\\ &\frac{\mathrm{d}\Delta\phi}{\mathrm{d}t}=\Delta p+\tan\theta_{s}\Delta r\\ &\frac{\mathrm{d}\Delta\psi}{\mathrm{d}t}=\sec\theta_{s}\Delta r \end{split}$$



# Trabajo 1: Funciones de Transferencia Open Loop Aviones

MUIA (2021/22) FCS

### 1 Descripción

#### 1.2 Método B: Ecuaciones Dimensionales

> Se obtienen la derivadas de estabilidad dimensionales

$$X_{u}$$
 ,  $X_{w}$  ,  $X_{\delta_{e}}$   $Z_{u}$  ,  $Z_{w}$  ,  $Z_{\dot{w}}$  ,  $Z_{q}$  ,  $Z_{\delta_{e}}$   $M_{u}$  ,  $M_{w}$  ,  $M_{\dot{w}}$  ,  $M_{q}$  ,  $M_{\delta_{e}}$  ,  $M_{\dot{\delta}_{e}}$ 

	Short large						
	X	Z	M				
$\frac{\partial}{\partial u}$	$\rho u_s SC_{xs} + \frac{\rho u_s S}{2} C_{X\hat{u}}$	$\rho u_s S C_{Zs} + \frac{\rho u_s S}{2} C_{Z\hat{u}}$	$\frac{ ho u_s Sc}{2} C_{m\hat{u}}$				
$\frac{\partial}{\partial w}$	$\frac{\rho u_s S}{2} C_{X\alpha}$	$\frac{\rho u_s S}{2} C_{Z\alpha}$	$\frac{\rho u_{s}Sc}{2}C_{m\alpha}$				
$\frac{\partial}{\partial \dot{w}}$		$\frac{ ho Sc}{4}C_{z\hat{\hat{a}}}$	$\frac{ ho Sc^2}{4}C_{m\hat{\alpha}}$				
$\frac{\partial}{\partial q}$		$\frac{\rho u_{s}Sc}{4}C_{Z\hat{q}}$	$\frac{\rho u_s Sc^2}{4} C_{m\hat{q}}$				
$rac{\partial}{\partial \delta_e}$	$\frac{\rho u_s^2 S}{2} C_{X\delta_e}$	$\frac{\rho u_s^2 S}{2} C_{Z\delta_e}$	$\frac{\rho u_s^2 Sc}{2} C_{m\delta_e}$				
$\frac{\partial}{\partial \dot{\mathcal{S}}_e}$			$\frac{\rho u_s Sc^2}{4} C_{m\hat{\delta}_e}$				

**FCS** 

#### Trabajo 1: Funciones de Transferencia Open Loop Aviones

# 1 Descripción

#### 1.2 Método B: Ecuaciones Dimensionales

→ Se obtienen la derivadas de estabilidad dimensionales

$$\begin{split} & Y_{_{\!\!\!\!V}}\,, \quad Y_{_{\!\!\!\!p}}\,\;,\; Y_{_{\!\!\!\!r}}\,, & \qquad \qquad Y_{_{\!\!\!\!\!\delta_r}} \\ & L_{_{\!\!\!\!V}}\,,\;\; L_{_{\!\!\!p}}\,\;,\; L_{_{\!\!r}}\,,\;\; L_{_{\!\delta_a}}\,,\;\; L_{_{\!\delta_a}}\,,\;\; L_{_{\!\delta_r}} \\ & N_{_{\!\!\!\!V}}\,,\; N_{_{\!\!\!p}}\,,\; N_{_{\!\!\!p}}\,,\; N_{_{\!r}}\,,\;\; N_{_{\!\delta_a}}\,, & N_{_{\!\delta_r}}\,,\;\; N_{_{\!\delta_r}}\,, \end{split}$$

	Y	L	N
$\frac{\partial}{\partial v}$	$\frac{\rho u_s S}{2} C_{\gamma\beta}$	$\frac{ ho u_s Sb}{2} C_{leta}$	$\frac{\rho u_{s}Sb}{2}C_{n\beta}$
$\frac{\partial}{\partial p}$	$\frac{\rho u_s Sb}{4} C_{Y\hat{p}}$	$\frac{\rho u_s Sb^2}{4} C_{l\hat{p}}$	$\frac{\rho u_s Sb^2}{4} C_{n\hat{p}}$
$\frac{\partial}{\partial r}$	$\frac{\rho u_{s}Sb}{4}C_{Y\hat{r}}$	$\frac{\rho u_{s}Sb^{2}}{4}C_{l\hat{r}}$	$\frac{\rho u_s Sb^2}{4} C_{n\hat{r}}$
$rac{\partial}{\partial {oldsymbol{\mathcal{S}}}_a}$		$\frac{\rho u_s^2 Sb}{2} C_{l\delta_a}$	$\frac{\rho u_s^2 Sb}{2} C_{n\delta_a}$
$rac{\partial}{\partial \dot{\mathcal{S}}_a}$		$\frac{\rho u_s S b^2}{4} C_{l\hat{\delta}_a}$	
$\frac{\partial}{\partial \delta_r}$	$\frac{\rho u_s^2 S}{2} C_{Y\delta_r}$	$\frac{\rho u_s^2 Sb}{2} C_{l\delta_r}$	$\frac{\rho u_s^2 Sb}{2} C_{n\delta_r}$
$\frac{\partial}{\partial \dot{\delta}_r}$			$\frac{\rho u_s S b^2}{4} C_{n\hat{\delta}_r}$



#### Trabajo 1: Funciones de Transferencia Open Loop Aviones

MUIA (2021/22)

# 1 Descripción

### 1.1 Método B: Ecuaciones Dimensionales

> Se expresa el sistema en la forma

$$E\dot{\vec{X}}(t) = A'\vec{X}(t) + B'\vec{U}(t)$$

Canal Longitudinal

$$\vec{X}(t) = \left\{ \Delta u\left(t\right), \Delta \alpha(t), \Delta \theta(t), \Delta q(t) \right\} \; \vec{\delta}(t) = \left\{ \Delta \delta e(t) \right\}$$

Canal Lateral-Direccional

$$\vec{X}(t) = \{\Delta\beta(t), \Delta p(t), \Delta r(t), \Delta \phi(t)\}; \ \vec{\delta}(t) = \{\Delta\delta a(t), \Delta\delta r(t)\}$$

Se transforma el sistema en la forma estándar

$$\dot{\vec{X}}(t) = A\vec{X}(t) + B\vec{U}(t)$$

Se realiza la transformada de Laplace y se resuelve matricialmente

$$s[I]\dot{\vec{X}}(s) = A\vec{X}(s) + B\vec{U}(s)$$
  

$$\{s[I] - A\}\vec{X}(s) = B\vec{U}(s)$$
  

$$\vec{X}(s) = (\{s[I] - A\}^{-1})B\vec{U}(s)$$



### 2 Entregables

- → Los grupos ya están establecidos y su composición publicada en el Moodle de la asignatura.
- → El martes 12 de Octubre, se enviará a cada grupo los datos correspondientes a su avión.
- → Todos los entregables se deben comprimir en un único .zip con el nombre FCS01\_21\_XX, siendo XX el grupo asignado, y se enviarán a las siguientes direcciones de correo electrónico antes del domingo 31 de Octubre de 2021

#### miguelangel.gomez@upm.es

#### manuel.perez@upm.es

- El informe se deberá enviar en formato PDF y su título será FCS01\_21\_XX.pdf
- > El tamaño máximo del fichero .zip no debe superar los 5MB.
- → Para poder realizar el segundo trabajo de la asignatura es **OBLIGATORIO** haber liberado esta primera parte con una Nota ≥ 5.0



# Trabajo 1: Funciones de Transferencia Open Loop Aviones

MUIA (2021/22) FCS

#### 2 Entregables

#### 2.1 Funciones de Transferencia Factorizadas

- → Calcular las siguientes funciones de transferencia en Open-Loop:
  - Canal Longitudinal

$$[G(s)]_{u\delta e} = \frac{\Delta u(s)}{\Delta \delta e(s)}; \ [G(s)]_{\theta\delta e} = \frac{\Delta \theta(s)}{\Delta \delta e(s)}; \ [G(s)]_{\alpha\delta e} = \frac{\Delta \alpha(s)}{\Delta \delta e(s)}; \ [G(s)]_{q\delta e} = \frac{\Delta q(s)}{\Delta \delta e(s)}$$

Canal Lateral-Direccional

$$[G(s)]_{p\delta a} = \frac{\Delta p(s)}{\Delta \delta a(s)}; \ [G(s)]_{r\delta a} = \frac{\Delta r(s)}{\Delta \delta a(s)};$$
$$[G(s)]_{\beta \delta r} = \frac{\Delta \beta(s)}{\Delta \delta r(s)}; \ [G(s)]_{r\delta r} = \frac{\Delta r(s)}{\Delta \delta r(s)};$$

- Unidades: u → m/s; Ángulos en grados
- → Cada función de transferencia se deberá expresar en forma factorizada:

$$\frac{\Delta\theta(s)}{\Delta\delta e(s)} = K_{\theta\delta e} \frac{\left[\tau_{\theta_1} s + 1\right] \left[\tau_{\theta_2} s + 1\right]}{\left[\left(\frac{s}{w_{nSP}}\right)^2 + \left(\frac{2\xi_{SP} s}{w_{nSP}}\right) + 1\right] \left[\left(\frac{s}{w_{nP}}\right)^2 + \left(\frac{2\xi_{P} s}{w_{nP}}\right) + 1\right]}$$

$$\frac{\Delta\psi(s)}{\Delta\delta a(s)} = K_{r\delta a} \frac{\left[\tau_{\psi} s + 1\right] \left[\left(\frac{s}{w_{\psi}}\right)^2 + \left(\frac{2\xi_{\psi} s}{w_{\psi}}\right) + 1\right]}{s\left[\tau_{r} s + 1\right] \left[\left(\frac{s}{w_{nDR}}\right)^2 + \left(\frac{2\xi_{DR} s}{w_{nDR}}\right) + 1\right]}$$



# 2 Entregables 2.2 Diagrama de Bode

- → Dibujar el diagrama de Bode de cada una de las funciones de transferencia calculadas en el apartado 2.1:
  - o Frecuencia [rd/s], Curva de Módulos [dB], Curva de Fases [º].
  - o Frecuencia en escala logarítmica.
  - o El rango de frecuencias debe incluir todos los modos propios del avión. Por ejemplo:
    - Canal Longitudinal: [10<sup>-2</sup> 10<sup>+2</sup>]
    - Canal Lateral-Direccional: [10<sup>-5</sup> 10<sup>+2</sup>]
  - Se debe utilizar el mismo rango de frecuencias para todas las funciones de transferencia de cada canal

Tabular el módulo de la repuesta en frecuencia (dB) de cada función de transferencia a las frecuencias de los modos propios:

Canal Longitudinal  $|[G(w_P)]_{u\delta e}|; |[G(w_{SP})]_{u\delta e}|$   $|[G(w_P)]_{\alpha\delta e}|; |[G(w_{SP})]_{\alpha\delta e}|$   $|[G(w_P)]_{\theta\delta e}|; |[G(w_{SP})]_{\theta\delta e}|$   $|[G(w_P)]_{q\delta e}|; |[G(w_{SP})]_{q\delta e}|$ 

Canal Lateral-Direccional 
$$\begin{split} & \left| [G(w_{DR})]_{p\delta a} \right|; \, \left| [G(1/\tau_R)]_{p\delta a} \right|; \, \left| [G(1/\tau_S)]_{p\delta a} \right| \\ & \left| [G(w_{DR})]_{r\delta a} \right|; \, \left| [G(1/\tau_R)]_{r\delta a} \right|; \, \left| [G(1/\tau_S)]_{r\delta a} \right| \\ & \left| [G(w_{DR})]_{\beta \delta r} \right|; \, \left| [G(1/\tau_R)]_{\beta \delta r} \right|; \, \left| [G(1/\tau_S)]_{\beta \delta r} \right| \\ & \left| [G(w_{DR})]_{r\delta r} \right|; \, \left| [G(1/\tau_R)]_{r\delta r} \right|; \, \left| [G(1/\tau_S)]_{r\delta r} \right| \end{split}$$



### Trabajo 1: Funciones de Transferencia Open Loop Aviones

MUIA (2021/22) FCS

# 2 Entregables 2.3 Diagrama de Nichols

- → Dibujar el diagrama de Nichols de cada una de las funciones de transferencia calculadas en el apartado 2.1:
  - Frecuencia [rd/s], Curva de Módulos [dB], Curva de Fases [º].
  - o Utilizar el mismo rango de frecuencias (rd/s), módulos (dB) y fases (º) que el seleccionado para el diagrama de Bode

### 2.4 Respuesta Temporal: Salto Escalón Unitario

- → Dibujar la respuesta temporal a una entrada salto escalón unitario de un grado para las funciones de transferencia obtenidas en el apartado 2.1:
  - Seleccionar una escala de tiempos adecuada para visualizar la respuesta transitoria y otra para la respuesta permanente del avión y presentar los resultados en sendas gráficas.
  - Tabular el valor estacionario y relacionar dicho resultado con la ganancia estática del sistema: razonar los resultados obtenidos.
  - Tabular el overshoot o undershoot del sistema y razonar los resultados obtenidos.



### 2 Entregables

# 2.5 Respuesta Temporal: Rampa Unitaria Saturada

- → Dibujar la respuesta temporal a una entrada tipo rampa de amplitud 1º e introducida en un tiempo de 10 segundos para las funciones de transferencia obtenidas en el apartado 2.1:
  - Seleccionar una escala de tiempos adecuada para visualizar la respuesta transitoria y otra para la respuesta permanente del avión y presentar los resultados en sendas gráficas.
  - Tabular el valor estacionario y relacionar dicho resultado con la ganancia estática del sistema: razonar los resultados obtenidos
  - Comentar las semejanzas/diferencias en la respuesta respecto a la entrada salto escalón en términos de overshoot o undershoot, valor estacionario y modos excitados.

# 2.6 Código Fuente

→ Se deberá entregar el código fuente utilizado para la realización del trabajo.



Trabajo 1: Funciones de Transferencia Open Loop Aviones

MUIA (2021/22) FCS

3 Datos
AVIÓN COMBATE: YAV-8B Harrier

Fuente: TFM Simulador Vuelo Rebeca Carrero Martínez Curso 2019/20





MUIA (2021/22) FCS

3 Datos UAV: RQ-4A Global Hawk Fuente: TFM Simulador Vuelo María Rodríguez Montes Curso 2015/16



De U.S. Air Force photo by Bobbi Zapka - http://www.af.mil/shared/media/photodb/photos/070301-F-9126Z-229.jpg, Dominio público, https://commons.wikimedia.org/w/index.php?curid=6711631